

TS881-1, Fig. D4We: 16 equidistant pasos $W-R_e; W-G_e; W-B_e; W-N$; $rgb/cmy0 \rightarrow rgb_c$ setrgbcolor

+-.:		lmno		pqrs		tuvw	
xyz;		hijk		lmno		lmno	
tuvw		defg		hijk		hijk	
pqrs		!abc		+-.:		+-.:	
lmno		xyz;		tuvw		xyz;	
hijk		defg		defg		defg	
defg		pqrs		!abc		6	
!abc		10		8		N $R_e G_e B_e Z$	
10		N $R_e G_e B_e Z$					

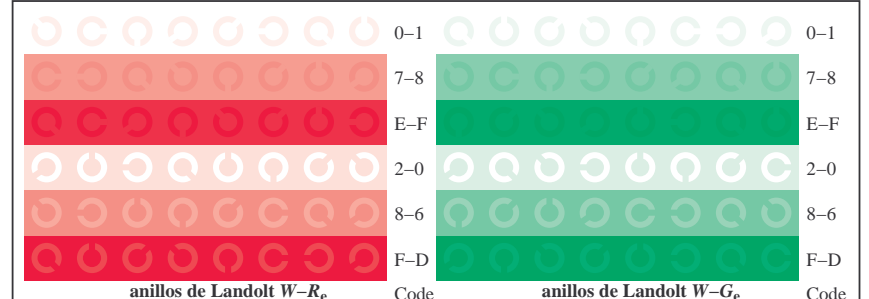
R_e

G_e

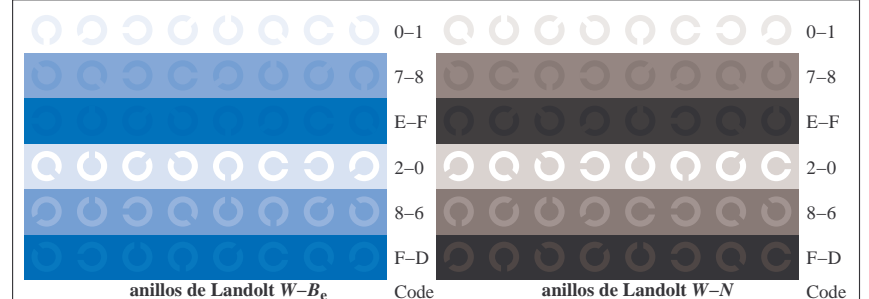
B_e

N

TS881-3, Fig. D5We: codigo y Landolt anillos $N; R_e; G_e; B_e; Z$; PS operator: $rgb \rightarrow rgb_c$ setrgbcolor



TS881-5, Fig. D6We: anillos de Landolt $W-R_e; W-G_e$; PS operator: $rgb \rightarrow rgb_c$ setrgbcolor

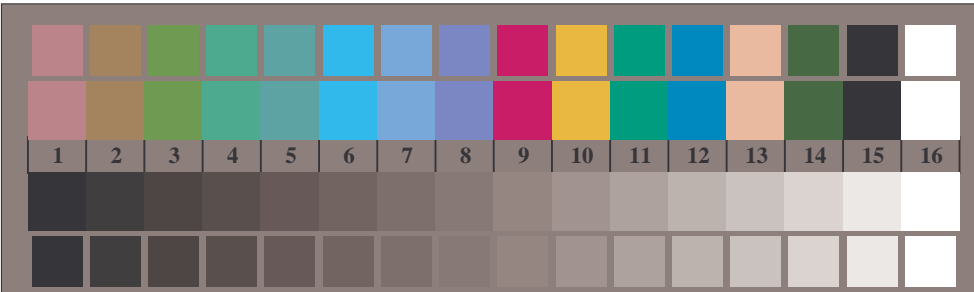


TS881-7, Fig. D7We: anillos de Landolt $W-B_e; W-N$; PS operator: $rgb \rightarrow rgb_c$ setrgbcolor



rejillas radial $W-R_e$ rejillas radial $W-G_e$ rejillas radial $W-B_e$ rejillas radial $W-N$ rejillas radial $W-Z$

TS880-5, Fig. D2We: rejillas radial $W-R_e; W-G_e; W-B_e; W-N$; PS operator: $rgb \rightarrow rgb_c$ setrgbcolor



TS880-7, Fig. D3We: CIE 14 colores del test y 16 pasos de gris (sf); PS operator: $rgb/cmy0 \rightarrow rgb_c$ setrgbcolor